

R. 4.001



T.D.
C/8

~~R. 4.001~~

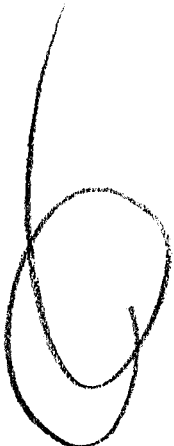
JUAN MANUEL CABEZBENO PÉREZ

Profesor Ayudante de Clases Prácticas
Primera Cátedra de Anatomía



**TOPONIMIA DEL CONTENIDO NEURAL DE LA POBA
GENERAL POSTERIOR**

Trabajo realizado para optar al grado
de Doctor en Medicina y Cirugía por la
Facultad de Medicina de Sevilla



SEVILLA

MARÍA

**TOPOGRAFIA DEL CONTRATO RURAL DE LA PESA
GENERAL POSTERIOR**



D. JUAN JIMÉNEZ-CASTELLANOS y CALVO-SUERO

Catedrático Numerario de Anatomía y Ciencias Anatómicas en la Facultad de Medicina de la Universidad de Sevilla

CERTIFICACION D. Juan Manuel Fernández Pérez
Licenciado en Medicina y Cirugía , Profesor Ayudante
de Clases Prácticas de la Cátedra de Anatomía que
regente, viene trabajando desde Febrero de 1959, habiendo
de llevado a cabo durante todo este tiempo , bajo mi
dirección , con la mayor eficacia y competencia por su
parte , los trabajos correspondientes a la realización
de su tesis doctoral que bajo el título de "Topografía
del contenido neural de la fosa cerebral posterior" y
con mi beneplácito , presenta para optar al grado de
Doctor por la Facultad de Medicina de Sevilla.

Y para que así conste, emplido el presente certifi-
cado a petición del interesado en Sevilla.

23 de Diciembre de 1960



Juan J. Castellanos

INTRODUCCIÓN

El presente trabajo pretende llevar a cabo - un estudio topográfico de las formaciones neurales que integran la fosa cerebelar posterior.

Conviven tener muy en cuenta la gran frecuencia ,con que este sistema nervioso resulta trastornado de un abortaje quirúrgico o la vista de los múltiples procesos delángulo pontocerebeloso, del cerebelo ,del tronco del encéfalo que reclaman una terapéutica activa y como consecuencia originan el bien comentado estudio topográfico previo.Pero de una manera más concreta la realización de este comentido topográfico, se impone con precisión a - la vista de las modernas técnicas neuroquirúrgicas, que pretenden actuar sobre estructuras superficiales de dicho compartimento. Concretamente se ha propuesto la destrucción del malos reyes el

mesencéfalo , el de los nucleos dentados del cerebelo para tratar de modificar la sintomatología extrapiramidal.

Como la progresiva perfección técnica y la ampliación de las bases neurofisiológicas puede en un inmediato pervenir ampliar el campo de las actuaciones neuroquirúrgicas en el ámbito neural - de los elementos de la fosa posterior , se impone el establecer las bases anatómicas necesarias condicionantes a la obtención de estos objetivos sobre bases exactas y precisas .

A la luz de estos antecedentes hemos procurado indagar en la variabilidad morfológica de los elementos neurales troncoencefálicos y cerebelosos, tratando de establecer unas referencias topográficas de la máxima constancia que permitan actuar con garantías de exactitud. El resultado de toda esta labor personal convenientemente fundamentada y respaldada en las bases bibliográficas que nos sugiere el tema, viene a constituir el substrato del presente trabajo , que nos atrevemos a elevar a la categoría de Tesis Doctoral , sometiéndola respetuosamente a

La consideración del Claustro de esta Facultad de Medicina , con la pretensión de que nos sirva de base para la obtención del Grado de Doctor en Medicina por la Universidad de SEVILLA-

MATERIAL Y MÉTODOS

En la realización del presente trabajo se han utilizado material procedente de cuarenta cadáveres , los cuales previamente han sido conservados mediante inyección parenteral de salinero de formal al 10% e inmersión en el mismo líquido. Para facilitar el trabajo , las cabezas han sido separadas del tronco , disecando las partes blandas de la calota craneal, cortando mediante sierra las formaciones óseas , y posteriormente se ha completado la sección sagital de las estructuras interhemisféricas con un cuchillo , de forma tal que obtuviéramos dos mitades lo más simétricamente posible .

Una vez en posesión de las estructuras cerebrales posteroinferiores en su situación normal , -en su hemisferio correspondiente , se ha procedi-

dido a reproducirlos directamente sobre cristal a pluma , y más tarde han sido trasladadas a papel milimetrado , unas veces y otras a papel ordinario, conservando al máximo las medidas del original.

Con la ayuda de estos dibujos se han hecho las reproducciones fotográficas a tamaño natural .

Una vez conseguidos los dibujos y fotografías hemos trazado el sistema de ejes que nos han servido durante todos los trabajos , actuando con el siguiente criterio:

1º.-Hemos trazado una línea tangente por debajo a la comisura blanca anterior y que por su parte posterior , lo es , al vértice del receso cerebeloso . (fig.1).

2º.-Se ha levantado mediante escuadra , una perpendicular que va desde el surco bulbopretuberculoso al eje anteriormente mencionado.

3º.-Se han trazado las bisectrices de los cuatro ángulos rectos formados con las perpendiculares entre si anteriores.

Los dibujos obtenidos mediante este proceder han sido superpuestos sobre los ejes vertical y

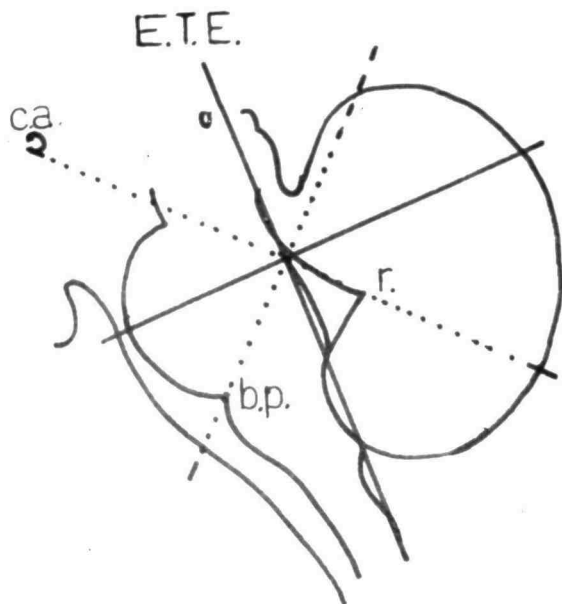


fig. 1.

Figura 1.- Esquema mostrando la determinación de nuestro eje troncoencefálico (E.T.E.). Con linea de puntos el eje comisura anterior receso (c.a.); receso cerebeloso (r.); con otro eje perpendicular al precedente lanzado desde el angulo bulboprotuberancial (b.p.). Las bisectrices de los ángulos rectos formados por este sistema nos marcan trazo continuo los ejes por nosotros adoptados, tanto el vertical troncoencefálico (E.T.E.), como el horizontal.

horizontal que han surgido de estos determinaciones .

Se han determinado los angulos A y B. Se ha tomado como angulo A el formado por el eje troncocefálico y el de ZALAIRACH ; y como angulo B el formado por el eje troncocefálico y el eje basilar óseo. (fig.2).

Se han hecho tablas con las medidas de estos angulos , ordenados segun los casos . Se han determinado las medidas extremas así como la cifra media entre los casos estudiados .

Se ha procedido a medir las distancias entre los puntos de referencias y estructuras que más fundamentalmente están encuadradas en el sistema cartesiano objeto de nuestro estudio. (fig.3).

Finalmente se han hecho cortes paralelos a distancia de cinco milímetros , tanto en sentido horizontal y sagital como en el transversal, para demostrar la coincidencia topográfica de las estructuras , al aplicar el sistema elegido; estas series de cortes mediante calado han sido reproducción sobre papel milimetrado.

Se existiendo una coincidencia visible entre los cortes mediante el primitivo sistema de ejes se ha procedido a establecer un nuevo eje horizontal para las estructuras posteriores (la perpendicular al eje troncoencefálico que pase por el vértice del recesso cerebeloso. (fig. 4).

Se han hecho esquemas de los trazados utilizados en las determinaciones angulares, así como en las medidas de los puntos de referencia y del establecimiento del nuevo eje descrito.

RESULTADOS

En el material acumulado se ha procedido a establecer un eje de referencia que proporcione la máxima utilidad topométrica , habiendo quedado establecido con arreglo a las pautas indicadas en el capitulo anterior . El que nosotros hemos designado bajo la denominación de eje troncocefálico . (E.T.C.) .

La constancia de este eje ha sido estudiada en relación con el eje comisural de TALAIRACH, de yellos cerebral , y el eje basilar de referencia éste ; como ya ha quedado indicado la angulación que forma el E.T.C. con el comisural , se ha designado con la letra A, formando un ángulo obtuso mientras que por el contrario el ángulo B, resultado de la comparación con el eje basilar aparece ag

no francamente agudo, según puede comprobarse en la figura 2.

Dentro de muestra material hemos procurado examinar las variabilidades de estos ángulos en un total de 19 observaciones cuyos resultados quedan recogidos numéricamente en el cuadro IV.

Respecto al ángulo A su amplitud estenta una oscilación que va desde los 92° hasta los 130°. Pudiendo considerar como cifra media el ángulo de 109°.

En relación con el eje óseo basilar nos establece el ángulo B, cuyas mediciones extremas oscilan en muestra casuística entre los 14° y los 35°, correspondiendo la cifra angular media a los 22°.

He interesado llevar a cabo un estudio comparativo topométrico de distintas estructuras con objeto de fundamentar su variabilidad individual. A tal fin se ha considerado sobre la superficie media sagital aquellas estructuras de más concreta y fácil localización, como han sido las semi-

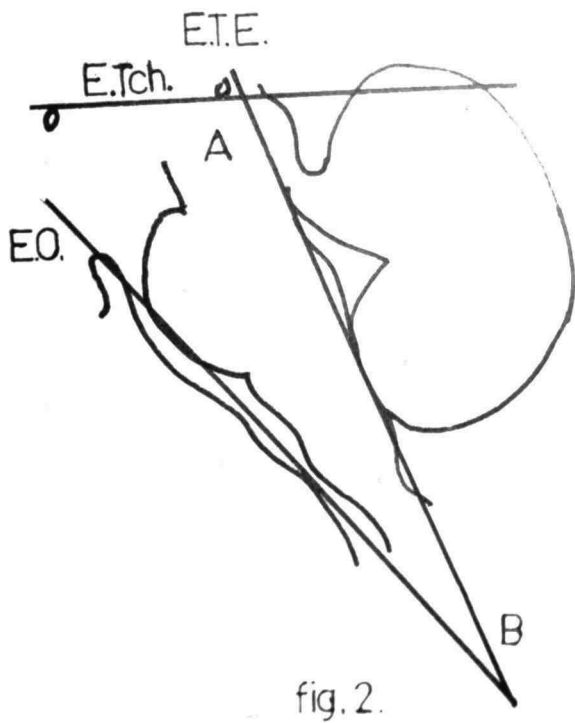


fig. 2.

Figura 2.- Estudio comparativo de la variabilidad angular entre el eje troncoencefálico (E.T.E.) y el eje intercomisural de TALAIRACH (E.Tch) por una parte, con el cual se forma el ángulo A y por otra con el eje oseo basilar (E.O.), con el cual el eje troncoencefálico forma el ángulo B.

CUADRO I

| <u>Datos</u> | <u>Angulo A</u> | <u>Angulo B</u> |
|---------------------------------|-----------------|-----------------|
| 1..... | 107 | 21 |
| 2..... | 92 | 21 |
| 3..... | 109 | 21 |
| 4..... | 108 | 29 |
| 5..... | 115 | 29 |
| 6..... | 120 | 22 |
| 7..... | 114 | 19 |
| 8..... | 115 | 16 |
| 9..... | 106 | 12 |
| 10..... | 113 | 22 |
| 11..... | 116 | 14 |
| 12..... | 110 | 16 |
| 13..... | 94 | 25 |
| 14..... | 109 | 27 |
| 15..... | 109 | 11 |
| 16..... | 111 | 19 |
| 17..... | 116 | 20 |
| 18..... | 112 | 13 |
| 19..... | 112 | 18 |
| | | |
| Cifras extremas: Max: 120 | 35 | |
| Min: 92 | 14 | |
| | | |
| Cifras medianas: | 109,26..... | 22,22 |

CUADRO I.- Estudio de 19 observaciones ,en comparacion de las amplitudenes formadas por el max con el comisural (A) , y con el basilar(B).

suras blancas anterior y posterior ,el fondo del recesso cerebeloso y el angulo bulboprotuberancial. La situacion que ocupan estas estructuras en la superficie media sagital cerebral , como demuestra la figura 3, viene a delimitar un area aproximadamente cuadrilátera en la cual nos interesa resaltar desde el punto de vista métrico , las mediciones de los cuatro lados y de las dos diagonales del cuadrilátero que quedan integradas por las siguientes medidas:

c.c. :distancia intercomisural

| | | |
|--------|---|-----------------------------|
| p.r. | * | comisura post. recesso |
| b.p.r. | * | bulboprotuberancial/recesso |
| a.b.p. | * | comis. ant. bulboprotub. |
| a.p. | * | comis. ant. recesso |
| p.b.p. | * | comis. post. bulboprotub. |

El estudio comparativo de estas mediciones llevado a cabo en 32 casos dentro del material que hemos utilizado viene a constituir el cuadro número XII donde se exponen únicamente los resultados obtenidos y donde creemos concretar geométricamente la variabilidad topométrica de la fosa posterior .

Resumiendo dicho cuadro, la medida más amplia corresponde a la que media entre la comisura blanca anterior y el recesso cerebeloso, que viene a ofrecernos como término medio unos 31 mm., aunque con oscilaciones que van desde los 28 a los 36.

Le sigue en amplitud, la distancia de la comisura blanca anterior al angulo bulboprotuberancial, que oscila en nuestra muestra constante entre 36 mm. y 32 mm., con una cifra media de 46,4 mm.

La medida comisura posterior angulo bulboprotuberancial es la cifra de mayor constancia que van desde los 35 mm. a los 43 mm., en los casos extremos, convirtiéndose en 40 mm. las medidas tipo media.

Entre la comisura posterior y el recesso cerebeloso existe una distancia milimétrica que oscila entre los 26 mm. y los 36 mm., correspondiendo la cifra de tipo medio a los 31,8 mm.

La distancia existente entre el angulo bulbo - protuberancial y el recesso cerebeloso oscila entre una cifra mínima de 18 mm. y una máxima de 31 mm., pudiéndosele asignar un valor de 24 mm. a la cifra media de esta determinación.

CUADRO II.

| Series | De T. | De R.P. |
|---|--------------|----------------|--------------|----------------|--------------|----------------|--------------|----------------|
| 1 | 51 | 11 | 35 | 11 | 35 | 11 | 35 | 11 |
| 2 | 58 | 13 | 34 | 13 | 34 | 13 | 34 | 13 |
| 3 | 50 | 12 | 33 | 12 | 33 | 12 | 33 | 12 |
| 4 | 42 | 11 | 26 | 11 | 26 | 11 | 26 | 11 |
| 5 | 59 | 13 | 39 | 13 | 39 | 13 | 39 | 13 |
| 6 | 51 | 12 | 39 | 12 | 39 | 12 | 39 | 12 |
| 7 | 51 | 12 | 31 | 11 | 35 | 11 | 35 | 11 |
| 8 | 52 | 11 | 30 | 11 | 35 | 11 | 35 | 11 |
| 9 | 54 | 19 | 32 | 19 | 30 | 19 | 27 | 19 |
| 10 | 54 | 20 | 32 | 19 | 35 | 17 | 25 | 19 |
| 11 | 59 | 25 | 31 | 21 | 42 | 49 | 22 | 25 |
| 12 | 54 | 26 | 35 | 24 | 32 | 22 | 22 | 22 |
| 13 | 49 | 22 | 30 | 19 | 37 | 47 | 22 | 22 |
| 14 | 49 | 20 | 32 | 18 | 41 | 47 | 13 | 13 |
| 15 | 48 | 12 | 32 | 11 | 36 | 21 | 21 | 21 |
| 16 | 54 | 23 | 33 | 21 | 30 | 20 | 23 | 23 |
| 17 | 51 | 24 | 32 | 21 | 30 | 20 | 23 | 23 |
| 18 | 52 | 23 | 32 | 21 | 30 | 21 | 23 | 23 |
| 19 | 56 | 28 | 36 | 24 | 41 | 33 | 23 | 23 |
| 20 | 45 | 24 | 29 | 21 | 45 | 44 | 24 | 24 |
| 21 | 48 | 26 | 29 | 21 | 41 | 44 | 24 | 24 |
| 22 | 53 | 25 | 35 | 21 | 41 | 41 | 21 | 21 |
| 23 | 52 | 21 | 37 | 19 | 41 | 37 | 21 | 21 |
| 24 | 51 | 19 | 37 | 17 | 41 | 37 | 22 | 22 |
| 25 | 50 | 21 | 40 | 19 | 43 | 31 | 21 | 21 |
| 26 | 44 | 19 | 29 | 19 | 39 | 41 | 21 | 21 |
| 27 | 54 | 24 | 31 | 21 | 42 | 42 | 21 | 21 |
| 28 | 50 | 25 | 41 | 21 | 41 | 41 | 21 | 21 |
| 29 | 50 | 25 | 42 | 21 | 41 | 41 | 21 | 21 |
| 30 | 52 | 21 | 34 | 21 | 43 | 43 | 21 | 21 |
| 31 | 50 | 21 | 32 | 21 | 41 | 41 | 21 | 21 |
| 32 | 51 | 26 | 32 | 21 | 43 | 46 | 21 | 21 |
| Media | | | | | | | | |
| Mínimas | | | | | | | | |
| 11,0.....11,0.....36,0.....43,0.....32,0.....31,0 | | | | | | | | |
| Máximas | | | | | | | | |
| 42,0.....18,0.....36,0.....35,0.....34,0.....23,0 | | | | | | | | |
| Medias | | | | | | | | |
| 50,9.....24,0.....31,8.....39,9.....46,4.....23,4 | | | | | | | | |

CUADRO II. - Resumen de las mediciones establecidas en un total de treinta y dos casos sobre el plam medio sagital , entre las comisuras blancas anterior y posterior , el angulo halbepretuberculad y el re-ceso cerebeloso.

Finalmente ,la distancia intercomisural ofrece en sus mediciones una oscilación de 7 mm. cuyas cifras mínimas corresponden a los 20 mm.y las máximas a los 27 mm., con un valor medio de 23 mm.

El estudio de conjunto de las estructuras de la fosa posterior en los distintos casos estudiados nos ha llevado a la selección del citado plano medio sagital, como punto de referencia base y dentro de él, una vez establecido nuestro eje tronocerebelar (E.T.C.) a superponer comparativamente la configuración morfológica de las estructuras sagitales en los distintos casos estudiados para deducir así el grado de variabilidad individual.

En principio vino a constituirse en centro del sistema el punto resultante de la confluencia del eje comisura anterior -receso cerebeloso (a.r.), con la perpendicular trazada desde el ángulo bulboprotuberancial.Sobre esta base y a lo largo de nuestro eje (E.T.C.) fuimos superponiendo sobre papel milimetrado , los perfiles de las estructuras medias tomadas directamente de la realidad .Para evitar la

dificil interpretación de estos trazados , han sido agrupados de tres en tres ; pudiendo ofrecer las figuras 5,6,7 y 8 , los resultados obtenidos en un total de 12 de nuestros casos , que han sido estudiados bajo este punto de vista ; indicase para difterenciarias unos de otros , trazos de líneas continuas , líneas de puntos o rayas .

El examen comparativo de estas cuatro láminas si bien nos deja satisfechos respecto al eje vertical troncoencefálico (E.T.E.) que hemos adoptado , en cambio no nos proporciona unos resultados tan concordantes por lo que se refiere al eje horizontal del mismo. Eje que si bien puede considerarse hasta cierto punto satisfactoriamente , en cuanto se refiere al troncoencefálico y especialmente a protuberancia , en cambio lo es menos en relación con el cerebelo. Por ello , ha resultado conveniente regular una nueva superposición de estructuras mediante troncoencefálicas y cerebelosas que si bien se adaptan al eje vertical troncoencefálico establecido , en cambio adopta como eje horizontal uno muy distinto del precedente , que corresponde a la

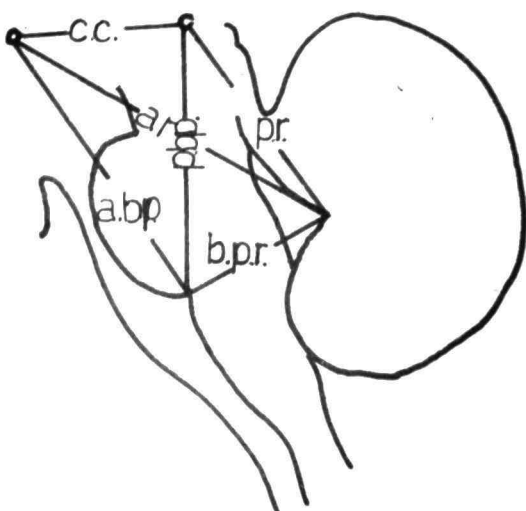


fig. 3.

Figura 3.- Sequema en el que figuran indicadas las medidas que hemos establecido entre las formaciones tronco-encefálicas más destacadas en el plano medio sagital: distancia comisura blanca anterior-ángulo bulboprotuberancial(a.bp.); distancia comisura blanca anterior-receso cerebeloso(a.r.); distancia angulo bulboprotuberancial-receso cerebeloso(b.p.r.); distancia intercomisural(c.c.); distancia angulo bulboprotuberancial-comisura posterior(pb.p.); distancia comisura posterior receso cerebeloso(p.r.).

perpendicular al eje vertical a nivel del vértice del recesso cerebeloso.

Como fruto de la aplicación de este criterio llevado a cabo sobre un total de 27 casos dentro del material que hemos trabajado , han surgido las figuras 9,10,11,12,13 y 14 , surgidas con el mismo criterio que los casos anteriores pero utilizando de ahora una referencia cerebelosa , esai es el fondo del recesso ;lo cual le da una mayor validez topográfica a las estructuras cerebelosas como puede deducirse de la consideración de conjunto de las citadas figuras.

Queda pues, como resumen la figura 4, sobre la base de un eje longitudinal vertical transcomisilico común (E.T.C.), la posibilidad de utilizar un doble eje horizontal de referencia:El eje protuberancial (E.P.)de mayor validez para la topometría anterior transcomisilica y especialmente protuberancial, y el eje cerebeloso (E.C.)de gran utilidad en la topometría posterior e de las estructuras cerebelosas .

Sobre estos bases surgió la necesidad de componer un atlas topográfico de las estructuras cere-

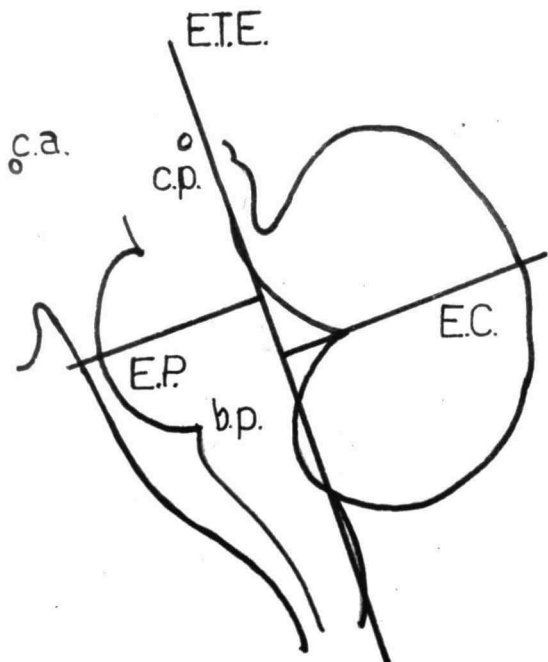


fig. 4

Figura 4.- Esquema que pone de manifiesto los ejes de referencia adoptados con carácter definitivos para topografiar las estructuras neurales de la fosa posterior .El eje vertical troncoencefálico (E.T.E.) y como horizontales el eje protuberancial (E.P.) que ofrece menos variabilidad en relación con las estructuras troncoencefálicas , mientras que el cerebeloso (E.C.) trazado con la referencia del recesso cerebeloso (R.C.)ofrece el menor grado de variabilidad en relación con estructuras posteriores.

tomadas en la fosa posterior una vez que quedaron convenientemente establecidas las ejes de referencia.

A tal fin y con arreglo a las pautas de técnica establecidas por MENDOZA y otros(1999), hemos procedido en maestro material a realizar cortes macroscópicos ,de orientación estereotípica a cuyo fin hemos procedido a seleccionar maestro material;hemos utilizando cuatro series cortadas horizontalmente , tres series que nos ofrecen las estructuras en una sección de planos transversales y dos series en que el criterio de corte nos ofrece a las estructuras cortadas sagitalmente .

Los cortes en cuestión han sido recogidos en dibujos sobre papel milimetrado para venir a constituir la base de los correspondientes atlas confeccionados sobre cortes de medio centímetro de grosor.

Lo interesante de este laber es su consideración de conjunto para poner de manifiesto la utilidad de los ejes adoptados en su topometría .Pues efecto , la composición realizada en la figura 15,muestra la serie de cortes transversales comparativamente realizados en tres casos diferentes , pudiendo observar

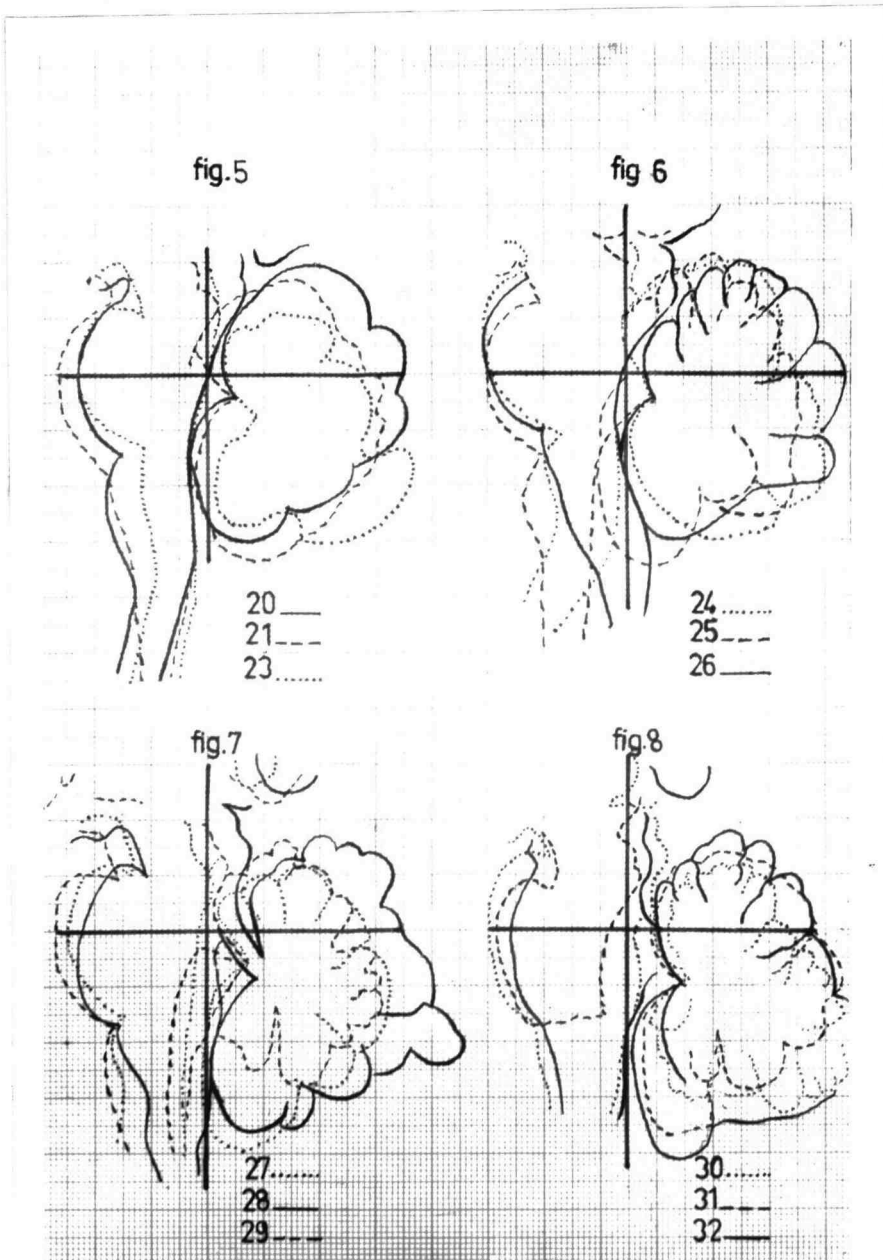


Figura 5, 6, 7, 8.—Representan una selección de nuestra casuística en la que se han superpuestos los perfiles del plano medio sagital de doce casos, agrupados de tres en tres, para mostrar la variabilidad de las estructuras, cuando se hacen coincidir los ejes de referencia. A este respecto se recogen dichos datos en relación con los casos 20, 21, 23 (f.5); 24, 25, 26 (f.6); 27, 28, 29 (f.7); 30, 31, 32 (f.8).

Se han utilizado líneas de trazo continuo, de rayas y de puntos para tratar de diferenciar los perfiles morfológicos de uno y otro caso.

la correlación de planos y ejes anteroposteriores , que comprenden desde el plano transversal más anterior designado como + 25 que afecta a las estructuras pía-
ticas , pasando por unos planos intermedios designados positivamente como + 15, + 10 y + 5 que muestran el aspecto macroscópico de las formaciones bulbares ,
plácticas y microscópicas , hasta unos planos negati-
vamente ya que muestran en toda su amplitud la extensión
cerebelosa , la cual no ha sido recogida en todo
su extensión , ya que el estadio ha quedado detenido
a nivel del plano - 25 , quedando dentro de estos muy
definido el plano -30 , que puede ser considerado co-
mo el fundamental punto de referencia del nísclo o
tudo cerebeloso .

Las figuras 16 y 17 , nos aparecen los cortes de
cortes horizontales , sometiendo a comparación cuatro
casos diferentes ; comprendidos los lotes de cortes
entre los planos -30,- por debajo del plano cerebeloso
ta el plano + 10Mm el plano -10 , donde las estructu-
ras cerebelosas se van a hacer más manifiestas , en
particular el nísclo dentado ; mientras las estructuras
ponticas en el plano 0 alcanzan mayor relieve , si bien
son ostensibles en los cortes -5 y -10 , así como en

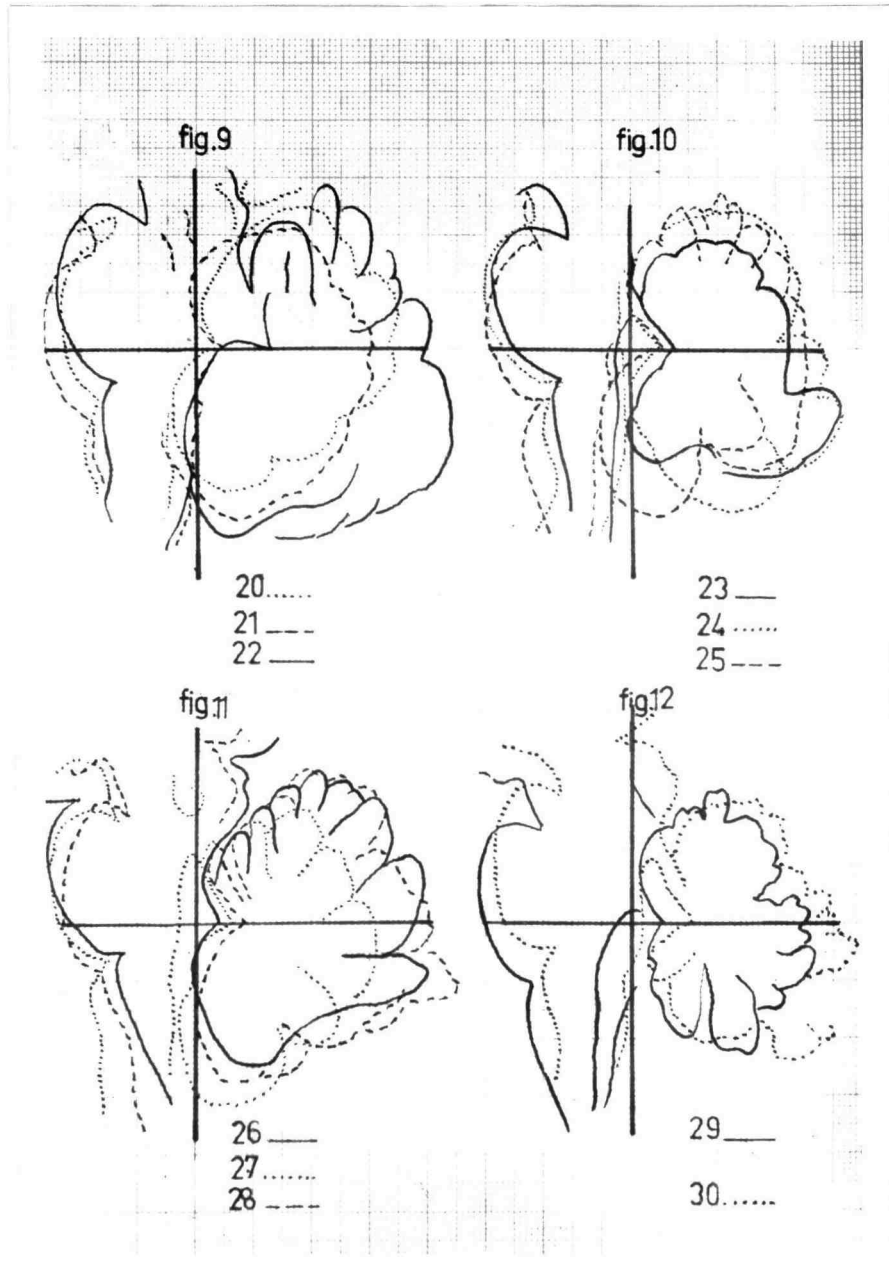
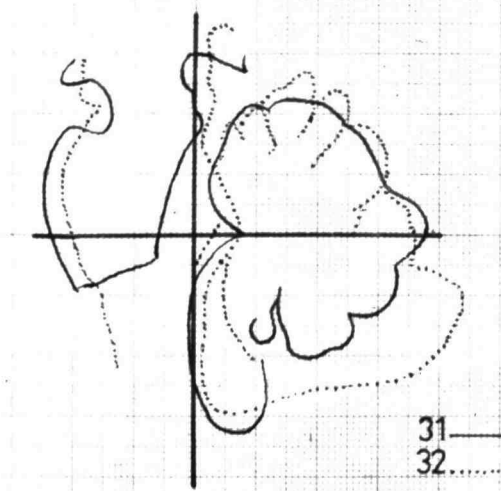
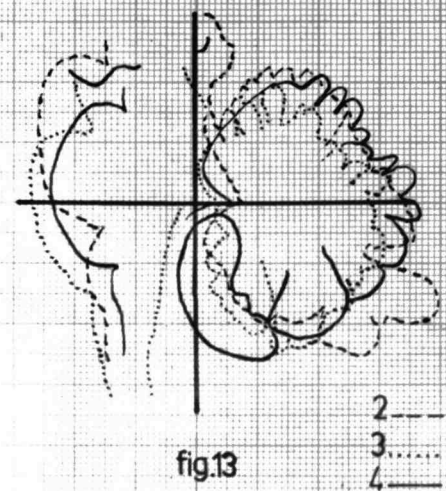


Figura 9,10,11 y 12.- Trata de demostrar un estudio similar al del caso anterior modificando el eje de referencia horizontal y utilizando la superposición sobre un eje horizontal, que pasa por el vértice - del receso cerebeloso con lo cual se pone de manifiesto una mejor correspondencia de las estructuras posteriores, que dan preferencia a este eje cuando se trate de topografiar las estructuras cerebelosas.

les positivas .

Los planos sagitales precedentes de dos series ocupan la figura 18; en ellos se nos muestra la estructura de la fosa cerebral posterior en una sucesión de cortes que van desde el plano 0 hasta el 30. En el plano 0, se nos muestra el sistema de ojos en su origen siguiendo el vertical (E.T.E.) la dirección del tronco del encéfalo y el horizontal dividiendo a la protuberancia en dos partes superior e inferior , así como al cerebelo.

El cerebelo se manifiesta en toda la serie , mientras las estructuras ponticas solo alcanzan el plano 15 en el segundo caso , y el 25 en el primero.



Figural 13y 14.- Estudio comparativo de la superposición de estructuras sagitales sobre los ejes de referencia referidos a los casos 2, 3, y 4 (f.13); y 31, 32 (f.14), en las que se da preferencia al eje horizontal que pasa por el recesso cerebeloso.

CONSIDERACIONES

La topografía de las estructuras cerebrales está reclamando en estos últimos tiempos una muy exacta localización como fruto del interés clínico y de la puesta en marcha de métodos encefalotomográficos. Esto ha hecho nacer la topometría cerebral destinada a proporcionar unos datos de localización precisa de estructuras de marcado interés clínico, como han sido el n úcleo lenticular -concretamente su porción palidal y el n úcleo lenticular-, las cuales han venido siendo destruidas para el tratamiento de los síndromes extrapiramidales (BENELON, 1950; KLEIN 1955; COOPER 1956; SPIEGEL y WYGIS 1953; OBRADOR 1956; TALAIRACH 1955; GUIOT y cols. 1955), con igual criterio se han abordado distintos n úcleos talámicos surgiendo así la talamotomía estereotáctica, como terapeútica antialgica, antihiperquinésica, psicorreumurgieasta., (TALAIRACH 1955;

con similares criterios viene teniendo realidad la cirugía estereotáctica anticonvulsivante , - concretamente mediante la destrucción del fornix , como han propuesto HASSELER y RIECHERT (1957) , o la actuación también estereotáctica sobre procesos expansivos irresolubles por otras terapéuticas (WIGGS, BOMBINS, SPIEGEL, MESSARS y SPIEGEL, 1954-1956; TALAIRACH, ABOULKER, HUGGERS y DAVID ,1954- 1955).

Todas estas exigencias clínicas centraron la atención hacia el cerebro y como consecuencia exigieron unos métodos de topografía cerebral ;sin embargo más recientemente , el perfeccionamiento de los conocimientos neurofisiológicos de una parte, y las mayores garantías técnicas de la neurcirugía, han llevado a plantearse problemas de actuación estereotáctica sobre estructuras concretas de la fosa posterior .

Sin embargo , al plantearse la topografía de la fosa posterior , anteriores de la experiencia de TALAIRACH llegaron a comprobar la inexactitud que para la topografía de las estructuras de dicha zona proporcionaban el empleo de ejes de referencia org

brales , y por ello este autor al plantearse la topografía de estas estructuras propone concretamente la necesidad de acudir a un nuevo sistema de ejes distintos del intercomisural que tan excelentes resultados proporciona en relación con las formaciones cerebrales .

En consecuencia, al pretender nosotros con estos antecedentes , el estudio de la topografía de la fosa posterior , tenía un fundamento aplicativo cual era el proporcionar unas bases anatómicas de referencia y de posible utilidad clínica , llevandolo mismo tiempo aparejado la necesidad de establecer unos ejes que fueran los más adecuados para referir a ellos las estructuras de dicha zona.

En un trabajo de conjunto sobre las posibilidades de los ejes de topografía cerebral (J.GASTELLU-NOS 1957) se hace la distinción entre los ejes de fundamentación craneal a cuya grata corresponden los métodos clásicos de HORSLEY y CLARK (1900) y de ESCOLAR (1950) , ambos fundamentando su trazado en el empleo de referencias óseas ; frente a aquéllos otros que pueden calificarse de encéflicos ya que utilizan en su confección las estructuras

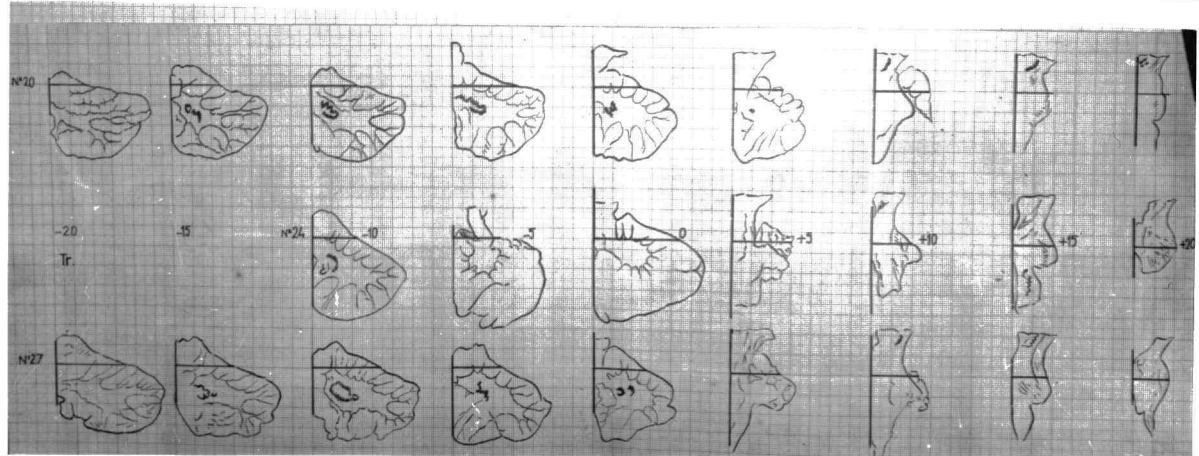


Figura 15.- Aspecto que muestra el contenido neural de la fosa cerebral posterior en los casos 20, 24 y 27 cortados en secciones trasversales de medio centímetro de grosor y traspasados el dispositivo morfológico y estructural de dichos cortes a papel milimétrado en el que quedan patentess las referencias a los ejes sagital y horizontal troncoencefálicos.

Como puede comprobarse las estructuras seriadas comprenden desde un plano -20 hasta otro + 20 , estableciéndose la correspondencia de planos en las tres series estudiadas .

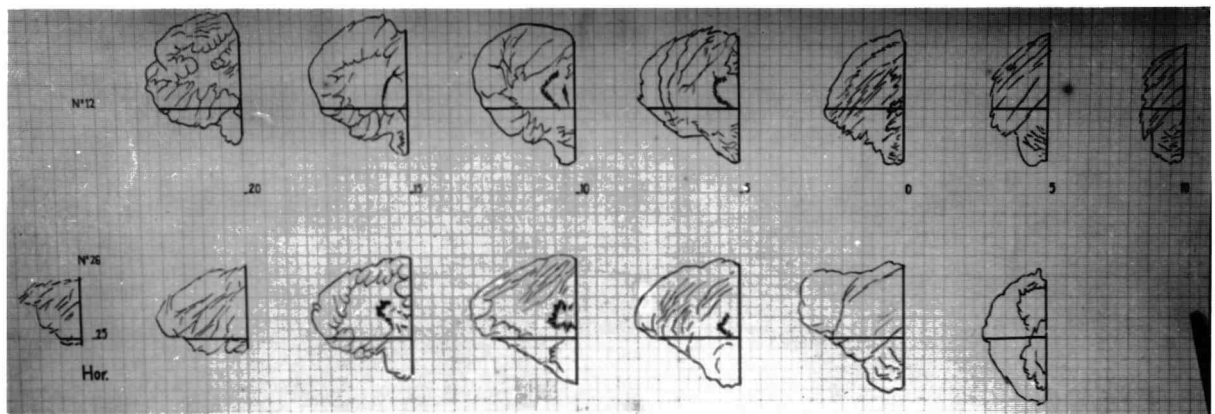


Figura 16.- Estructuras neurales de la fossa posterior correspondientes a los casos 12 y 26 cortados en secciones horizontales de medio centímetro, mostrando sobre papel milimetrado el aspecto morfológico de dichos cortes comprendidos entre los planos menos 25 y + 10 y referido métricamente a los ejes sagital y vertebral trasversal.

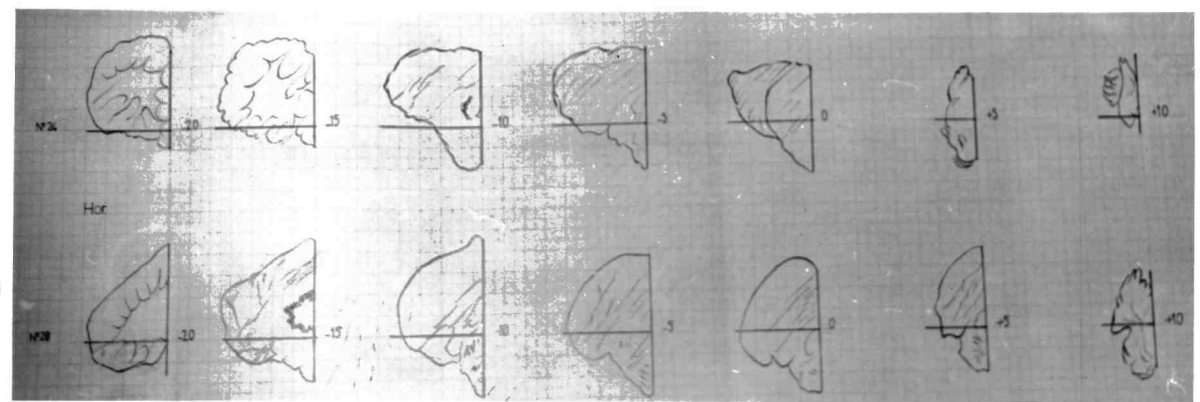


Figura 17 .- Aspecto de los dibujos sobre papel milimétrado precedentes de las series troncocefálicas seccionadas horizontalmente y correspondientes a los casos 24 y 26 de nuestro material cadáverico.

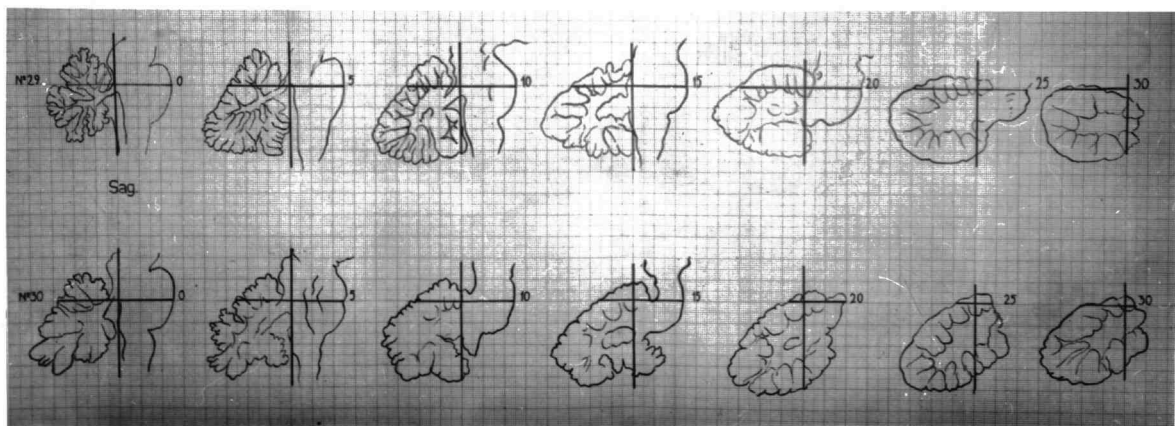


Figura 16.-Dibujos sobre papel milimetrado procedente de dos series (casos 29 y 30), en que las estructuras trencocerebelosas, han sido seccionados en cortes a sagitales de medio centímetro de grosor, estableciéndose una serie que a partir del plano 0 sagital se extiende lateralmente hasta el plano 30.

Sobre los dibujos quedan marcados los ejes de referencia vertical y horizontal.

propiamente cerebrales .A este grupo en concreto hay que referir el sistema de BURGEL y VIGIL (1990) y el de TALAIRACH entre otros.

Los resultados objetivos obligan a dar preferencia a este último tipo de máscaras ya que la realidad muestra que dadas las grandes variaciones de variabilidad individual , la mejor manera de vencer este escollo es utilizando referencias encéflicas cuando se trata de topografiar estructuras intracerebrales .

Con estos precedentes a la vista y teniendo en cuenta que el propio TALAIRACH considera poco eficaz su eje interosesinal para poder establecer dimensiones métricas en la fossa posterior , se nos planteaba el problema de encontrar un nuevo eje que resolviera las dificultades de la forma más eficaz .

El trazado del citado eje, tenía que reunir una serie de condiciones : 1º, adoptar como punto de referencia estructuras intracerebrales concretas , 2º, procurar que las referencias seleccionadas pudieran visualizarse en el sujeto vivo mediante los métodos radiológicos de contraste y 3º, procurar que el trazado del citado eje se adaptara lo más posible al propio eje transencéflico y más concretamente a la

trayectoria de las ovidades correspondientes como la forma más estable de conseguir unos resultados de constancia métrica que se acopiasen a la variabilidad individual.

Entre los ejes propiamente cerebrales cabe contar con el propuesto por SPIRGEOL y WIGGS (1952) que utilizan como referencias dos estructuras bien concretas , cuales son la comisura blanca posterior y el angulo bulboprotuberancial , surgiendo así la linea "comisura paante" , que incluso pedia trasformarse en linea "puente pineal" cuando estos autores basandose en la objetividad radiográfica que en una gran cantidad de casos proporciona la glándula pineal calificada , la utilizan como punto de referencia en sustitución de la comisura posterior .

Este eje queda bien fundamentado en cuanto que ytiliza unos adecuados y concretos puntos de referencia , pero tiene en cambio el inconveniente de no adaptarse a la trayectoria del ojo transconocafilico. Estas circunstancias nos han obligado a prescindir de los sistemas previos para plantearnos un nuevo trazo que se adajtase lo más exactamente a los postulados que en principio hemos sentado.



Figura 19.- Aspecto topográfico de las estructuras neurales de la fosa posterior "in situ"; tras la sección cefálica del plano medio sagital, mostrando la objetividad de los puntos de referencia propuestos, precedentes del caso 37 de nuestro material de estudio.

En nuestro plan de extracción , hemos empleado seleccionando estructuras de gran interés topográfico y de posible localización vital ; entre ellos hemos tenido en cuenta algunas que ya han sido valoradas en los trabajos de autores previos tales como las comisuras blancas anterior y posterior , utilizadas por TALAIRACH , el angulo bulbopretuberculacial , empleado por SPIEGEL y WYCIS , habiendo añadido por nuestra parte el empleo del vértice del recesso cerebeloso , cuya visualización en el sujeto vivo , es de factible obtención como demuestra la siguiente imagen radiográfica , correspondiente a la 1^a fase de una neumonefrografía fraccionada , procedente de la colección del prof. J. CASTELLANOS y en la cual ilustramos la figura 29.

Interesaban conocer las relaciones métricas que ofrecían estos puntos de referencia en orden a la determinación de sus oscilaciones como fruto de la variabilidad individual; tal estudio se ha visto cumplimentado mediante el estudio de los treinta y dos casos que integran el cuadro segundo.



Figura 20.- Aspecto de la primera fase de una pneumoencefalografía fraccionada, en la que se pone de manifiesto en placa general el relleno aéreo del cuarto ventrículo y dentro de él se precisa con el máximo detalle la localización del recesso cerebeloso.

Sobre el empleo de estos cuatro puntos de referencia se trataba de hacer deducir un eje que coincidiera lo más posible con el troncoencefálico, y fruto de una serie de deducciones previas fue el trazado de nuestro eje troncoencefálico basado del sistema cartesiano de topografía que hemos adoptado en relación con la fosa posterior, y cuyo trazado corresponde a la bisectriz del angulo formado entre la linea comisura anterior-receso cerebeloso, y la perpendicular a la misma a nivel del angulo bulbo-protuberancial.

Una vez conseguido este eje se trataba de realizar un estudio comparativo con un eje cerebral cual era el intercomisural de TALAIRACH y con un eje falso de tipo basilar, resultante de la unión del punto medio del "dorsum sellae" con el basílon, para establecer así mediante determinaciones en una serie de 19 ejes, y el estudio de las correspondientes angulaciones, un índice de variabilidad, el cual, ya por lo pronto pone de manifiesto que aun cuando las variaciones individuales se dan en ambos casos sin embargo, alcanzan mayor amplitud en el estudio

comparativo de maestro ojo transverso filílico en la línea basilar , lo cual en definitiva viene a confirmar que aunque el problema no esté totalmente resuelto en relación con la fosa posterior es previsible también el dar preferencia a los ojos normales .

La obtención de este ojo que pretendo seguir la trayectoria longitudinal del tronco encefálico requiere para que pueda tener valor topográfico el complemento de un segundo ojo trasversal , puesto que en la fosa posterior podemos seguir manteniendo el criterio unánime de todos los sistemas ortoortográficos , de utilizar como tercer plano el medio sagital , que en principio divide las estructuras en dos mitades simétricas . Únicamente resulta de más difícil comprobación la simetría de las estructuras de la fosa posterior , a diferencia de las ventajas que en este sentido ofrece el contenido cerebral ; donde tanto los medios aereos como los arteriográficos propuestos con esta orientación por MURGA, GOMEZ de TERREROS , J.CASTELLANOS (1954)

y los controles radiográficos que utilizan GUILLET y colaboradores (1959) , llevan en definitiva a una determinación bastante exacta de ese plano medio sagital "real" , que segun DEMAS y MARCHAL (1952) sólo en un 12 % de casos coincide el plano sagital óseo con el cerebral.

Aceptado pues con estas salvedades , el plano medio sagital se plantea como ya hemos indicado con anterioridad la elección de un plano o eje transversal que complemente el sistema cartesiano .

En este sentido la experiencia nos ha demostrado la necesidad de adoptar un doble plano transversal ya que a efectos de la topografía cerebelosa , al eje horizontal del sistema se traza en relación con el receso cerebeloso que viene en términos generales a dividir a la masa del cerebelo en dos mitades (superior e inferior) , bastante homogéneas lo cual permite una mayor exactitud en las referencias topométricas cerebelosas profundas , que son inauditablemente las que mayor interés pueden tener en la práctica.

En cambio, la topometría de las estructuras

proxiles , que en términos generales afectan al tronco del encéfalo tienen su mayor motivo de magnitud cuando se consideran horizontalmente a partir de un eje de referencia que venga a afectar a la protuberancia, formación central del tronco del encéfalo a nivel de su parte media , y legítimamente, el eje que en la práctica mejor cumple ese cometido es el resultante de la bisectriz de la bisectriz del angulo recto que forma la linea comisura blanca -reson , con la perpendicular bajada desde el angulo bulbo-protuberancial , siendo como es legítimo este eje horizontal que acaba de indicarse , perpendicular al longitudinal troncoencéflico , que nos sirve de base.figura 4.

Los tres ejes así establecidos confluyendo en un sistema cartesiano constituyen la base del correspondiente sistema de planos perpendiculares que hacen posible la realización de un objetivo topométrico. Sobre estas bases hemos obtenido los correspondientes atlas de cortes cerebrales , siguiendo los tres planos en cuestión , consignando así series de cortes horizontales , transversales y sagitales .

Si nuestro problema hubiese sido exclusivamente topométrico habría bastado con obtener una sola serie de cortes transplantandole a dibujos sobre papel milimetrado para deducir así la topometría de cualquier estructura ; sin embargo , como hay necesidad de contar con el factor de variabilidad individual nos hemos visto obligados a seleccionar nuestros casos números 20, 24 y 27 para proceder a realizar hemisecciones transversales de las estructuras de la fosa posterior ; con igual criterio los casos 12, 24, 26, y 28 han sido utilizados para realizar secciones horizontales y con similar punto de vista se llevaron a cabo cortes siguiendo el plano sagital y a partir de la linea media en los casos 29 y 30.

El material así acumulado ha proporcionado sobre esta base de nueve casos así estudiados observar las posibles variantes que con carácter individual puedan surgir en la medición de las estructuras de esta zona .

Para llevar a cabo de una manera concreta y práctica la determinación de estas variantes se ha procedido a confeccionar unos cuadros en los cuales ,

por una parte se establecen las coordenadas máximas de la masa cerebelosa y troncoencefálica y por otra parte de una forma específica se procede a determinar las coordenadas de una estructura cual es el n úcleo dentado del cerebro, al que se da preferencia tanto por su interés aplicativo clínico como por constituir una estructura suficientemente extensible en la que puedan resultar bien demostrativas los rasgos de variabilidad topométrica.

En relación con la masa cerebelo - troncoencefálica, la determinación de las mediciones anteriores, transversales y verticales referidas a nuestro sistema de ejes ha permitido establecer los rasgos de variabilidad y sobre todo el trazado de unas medidas máximas que nos orientan en el sentido topométrico; procediendo sobre las bases numéricas obtenidas a la ubicación de las estructuras neurales de la fosa posterior que quedan incluidas dentro de un espacio delimitado por una serie de planos paralelos a nuestro sistema de ejes, pudiendo deducir a la vista de las mediciones obtenidas que el plano parietal deberá estar situado a 25 mm.

CUADRO III

Cortes sagitales (29, 30).

| | <u>Anterior</u> | <u>Posterior</u> |
|----|-----------------|------------------|
| 0 | 25...25..... | 23...26 |
| 5 | 23...23..... | 26...26 |
| 10 | 23...23..... | 23...22 |
| 15 | 23...24..... | 28...16 |
| 20 | 23...23..... | 30....7 |
| 25 | 23...9..... | 29...8 |
| 30 | 0...5..... | 30...16 |

CUADRO III.-Estudio topometrico en cortes sagitales axiales del bloque troncoencefalico cerebeloso, indicando las medidas máximas.

por delante del eje troncoencefálico para englobar a todas las estructuras del contenido neural resaltando al mismo tiempo tangente a las anteriores. En cambio el plano retroaxil para reunir las mismas condiciones que el presente debe quedar trazado a 30 mm. por detrás de dicho eje troncoencefálico.

Los límites supra e infraaxiles guardaron unas relaciones métricas de 22 mm. por encima, y 35 mm. por debajo del centro del sistema respectivamente.

En cuanto a la amplitud lateral quedará amarcada por dos planos paralelos al medio sagital y distantes del mismo 44 mm.

A la luz de estos datos puede deducirse la constitución de una masa prismática cuadrangular que engloba al cerebelo y al tronco del encéfalo dentro de una amplitud de medidas que corresponden a 57 mm. en sentido vertical, 95 mm. en sentido anteroposterior y transversalmente 68mm.

El estudio que acabamos de realizar se ha llevado a cabo con mediciones realizadas sobre los propios ejes del sistema cartesiano propuesto; sin embargo muchas de estas medidas son rebasadas por es-

Q U A D R O IV

Cortes transversales (20, 24, 27).*

| <u>Nº.</u> | <u>Superior</u> | <u>Interior</u> | <u>Interior</u> |
|------------|--------------------------------------|-----------------|-----------------|
| -20..... | 3...0..12:::19...0..17:::17...0..33 | | |
| 24..... | 4...0..12:::29...0..19:::25...0..30 | | |
| -27..... | 2..12...7:::29..34..22:::23..23..32 | | |
| - 5..... | 22..2...6:::29..32..33:::31..23..25 | | |
| 0..... | 18..17..13:::32..30..21:::24..43..29 | | |
| 9..... | 27..20..20:::29..19..30:::29..30..24 | | |
| 10..... | 27..19..19:::34..9..30:::27..29..23 | | |
| 13..... | 17..11..10:::30...8..16:::16..29..18 | | |
| 20..... | 27..11..10:::29...3...9:::14..20..15 | | |

CUADRO IV.- Estadística topométrica en cortes transversales axiales del bloque troncocónico -silice -coralíense, indicando las medidas en milímetros .

tructuras que sobrepasan en las distintas direcciones a los ejes de topometria , y por consiguiente teniendo en cuenta esta salvedad habrá necesidad de hacer las oportunas rectificaciones dando unas cifras máximas que son de 30 mm. frente a los 25 mm. que corresponden al plano preaxial . El plano retroaxial lo ampliamos hasta 48 mm. frente a los 30 primitivos . El límite superior ha sufrido menos alteración pues pasa de 22 mm. antes , a 25 mm. ahora . En cuanto plano inferior viene a quedar a 45 mm. por debajo del centro del sistema y la amplitud lateral se remonta a los 54 mm. en contraposición con los 44 mm. que antes se le asignaron.

En consecuencia los ejes topométricos cerebelotransecefálicos alcanzan una amplitud total máxima de 70 mm. en el sentido vertical, de 78 mm. en dirección anteroposterior, y 108 mm. en la anchura ; cifras todas ellas que sobrepasan casi en dos contingentes a las que se obtuvieron anteriormente cuando las mediciones se llevaron a cabo con criterio axial en un sentido estricto.

Dado el interés aplicativo que ofrece el mapeo detallado del cerebelo , tal como ya hemos expuesto

en el planteamiento de este trabajo , lo consideramos de gran interés por su posible repercusión aplicativa al determinar su localización topométrica a través de las correspondientes coordenadas.

En este sentido y como consecuencia del estudio topométrico de la oliva cerebelosa llevado a cabo sobre muestra material de trabajo podemos establecer en primer término que dicha estructura se encuentra toda ella situada a ambos lados de la línea media y a nivel de los cuadrantes posteroinferiores del sistema de ejes cartesianos que hemos adoptado.

Precisando más su topometría dentro del cuadrante que engloba a la oliva , es posible cometer una zona prismática cuadrangular cuyas coordenadas a partir del centro del sistema vienen dadas por las siguientes mediciones : 14 mm. en sentido lateral , 17 mm en dirección descendente y 18 mm. en sentido posterior , quedando así delimitado el espacio volumétrico en cuyo seno se aloja dicho nácleo cerebeloso.

Los resultados métricos de todas estas determinaciones cerebelosas llevadas a cabo en muestras

CUADRO V

Cortes horizontales (12, 26, 24, 20).

| | <u>Mm.</u> | <u>Anterior</u> | <u>Posterior</u> | <u>Internas</u> |
|---|-------------|------------------|------------------|-----------------|
| 1 | -20..13.. | 9..9..12..14.. | 35..36..45..40.. | 31..33..36 |
| 2 | -15..22.. | 18..10..20..36.. | 39..34..45..41.. | 42..40..42 |
| 3 | -10..23.. | 21..17..28..32.. | 38..36..49..42.. | 35..34..43 |
| 4 | - 5..23.. | 22..21..30..34.. | 37..37..38..44.. | 40..35..40 |
| 5 | 0..23..23.. | 24..30..32..35.. | 38..38..39..32.. | 36 |
| 6 | 9..24.. | 30..20..21..34.. | 39..39..38..39.. | 35..26..31 |
| 7 | 10..24.. | 0..5..20..30.. | 0..20..19..20.. | 0..10..20 |

CUADRO V.- Estadío topométrico en cortes horizontales axiales del bloque troncoencefálico-cerebeloso, indicando las medidas máximas.

casos estudiados , presentan manifestación de una variabilidad individual cuyas oscilaciones de tipo medio suelen alcanzar alrededor de los 10 mm. ; vieniendo estos resultados a confirmar los datos de variabilidad métrica obtenida por otros autores en relación con diferentes estructuras encefálicas y más concretamente en relación con el tálamo (SOLER , 1954; TALAI RACH, 1955) o con los estudios topométricos de la superficie medial del cerebro . (J.CASTELLANOS , 1960).

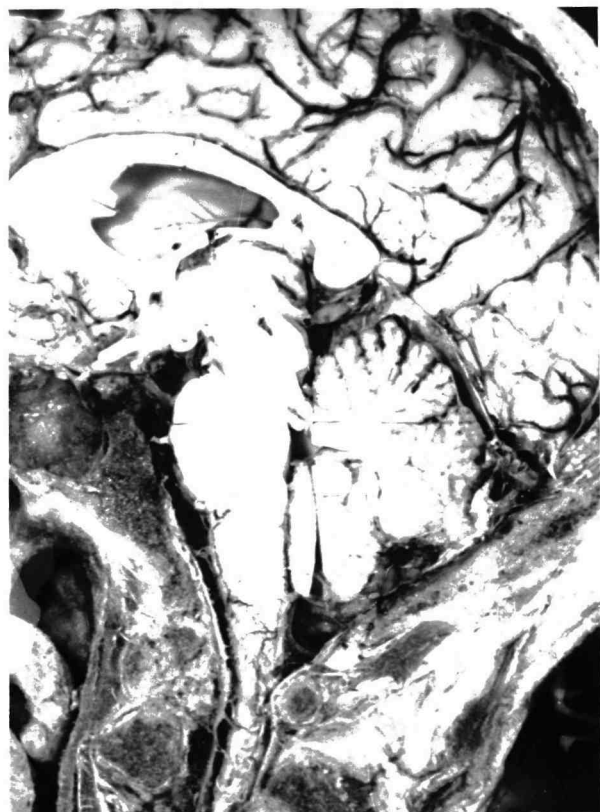


Figura 21.- Detalle fotográfico correspondiente al caso n° 40 en el que se muestran las estructuras neurales sagitales con el correspondiente trazado de los ejes tronco-encefálicos vertical y horizontal.

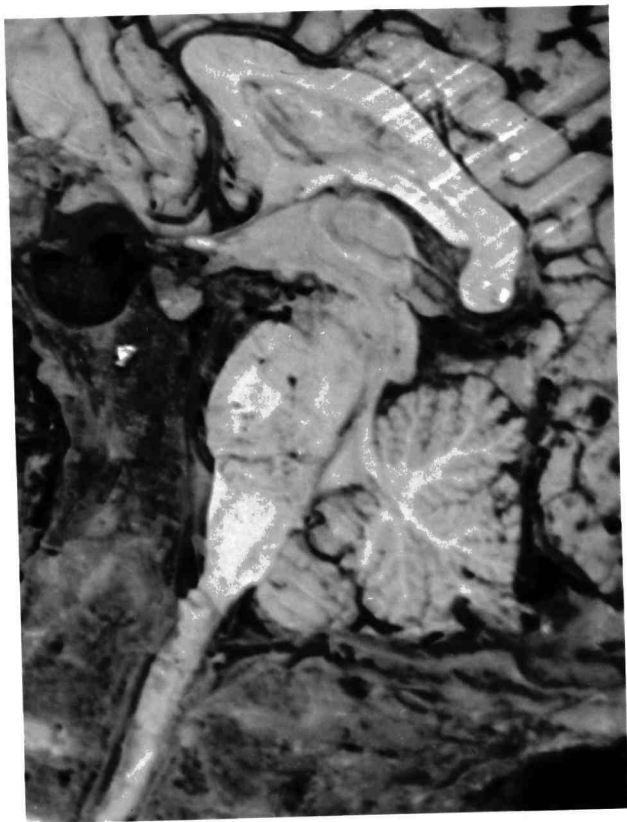


Figura 22.- Fotografia de las estructuras sagitales tronco-cerebelosas correspondientes al cerebro nº 15 de nuestra casuistica.

CUADRO VI

Cortes horizontales (12, 26, 24, 28)

| | <u>Particular</u> | <u>Interior</u> |
|---|------------------------|-----------------|
| I | -19.....18..0..21 | 18..17..0..24 |
| n | -20.....18..18..10..10 | 16..14..19..0 |
| f | - 5.....12..15..0..0 | 12..11..0..0 |
| e | | |
| r | | |
| t | | |
| i | | |
| x | | |

Cortes transversales (20, 24, 27)

| | <u>Interior</u> | <u>Interior</u> |
|---|--------------------|-----------------|
| p | -19.....19..0..27 | 15..0..29 |
| e | -20.....27..27..16 | 14..13..21 |
| s | - 5.....14..0..16 | 16..0..17 |
| t | 0.....14..0..12 | 12..0..21 |
| e | | |
| r | | |
| a | | |
| r | | |
| i | | |
| x | | |

CUADRO VI.• Rotulio topometrico del muelle dentro.

Serie de medidas en cortes horizontales y transversales expresadas en milímetros , proyectadas en tres planos .

RESUMEN

Utilizando material encefálico humano procedente de 40 cadáveres , se ha procedido al estudio topométrico de las estructuras neurales de la fosa posterior, adoptando como base el plano medio sagital. Se han relacionado estructuras precisas de referencia , concretándose a tal fin a las comisuras blancas anterior y posterior , el vértice del reojo cerebeloso y el angulo bulbopretuberal , estableciendo entre ellos las correspondientes medidas en las series de casos estudiados , para deducir así rangos de variabilidad individual.

Sobre estas bases de referencia se ha fijado un eje troncoencefálico que sirve de base a todo el sistema cartesiano de la fosa posterior y que permite su trazado en el individuo vivo a pesar de contar con referencias puramente encefálicas .

Se hace un estudio comparativo entre el eje troncoencefálico y los sistemas previamente propuestos por otros autores para la topografía cerebral anterior-posterior. Este estudio se centra en una menor especialización de los espacios que forman el eje troncoencefálico con el eje basilar (uno por una parte y con el interseccional de TALAIRACH, por otra).

Se estudia una serie de nueve casos cortados en bloques de cinco milímetros de espesor con arreglo a los tres planos, sagital (dos series), transversal (tres), horizontal (cuatro); con los cuales se disponen de unos atlas anatómicos de las estructuras neurales de la cara posterior, en los que simultáneamente al carácter topográfico que se da da de su confección sobre pupilla milimétrica existe la posibilidad de establecer resultados comparativos que permitan tener presente la variabilidad individual.

Este último objetivo se consigue también numéricamente estudiando las coordenadas globales, de la cara cerebelo-troncoencefálico por una parte y por otra las especificaciones del espacio dentro cerebral

leso. Destacase la situacion de dicho nódulo , que
dando situado a ambos lados de la linea media y en
el cuadrante posteroinferior .

CONCLUSIONES

I.-Se realiza un estudio topométrico de las estructuras neurales de la fosa posterior basado en el examen de material encefálico procedente de 40 piezas de la sala de disección.

II.-Se destacan como referencias encefálicas sagitales de interés topométrico preferente en relación con la fosa posterior las comisuras blandas anterior y posterior, el vértice del recesso espinal y el angulo bulbopretuberal.

III.- Las relaciones métricas de las estructuras sagitales de referencia encefálica , ponen de

manifesto tras la medición practicada en 32 casos que las mínimas oscilaciones (8 mm.) se dan en la distancia comisura posterior - angulo bulbo-pretuberculano , y en la distancia intercomisural; en cambio las oscilaciones máximas de 15 y 16 mm. respectivamente corresponden a la distancia que media entre la comisura blanca anterior y el angulo bulbo-pretuberculano por una parte , y la comisura blanca y el recesso cerebeloso por otra ; quedando en cambio la distancia comisura posterior-recesso y la linea angulo bulbo-pretuberculano-recesso cerebeloso , con oscilaciones respectivas de 19 y 13 mm.

IV.- Se propone un eje troncoencefálico de topografía de las estructuras neurales de la fosa posterior , deducido en concreto a partir de la comisura blanca anterior , el vértice del recesso cerebeloso y el angulo bulbo-pretuberculano , ya que el citado eje resulta ser la bisectriz del angulo recto formado por la comisura blanca anterior-recesso y la perpendicular a esta desde el angulo bulbo-pretuberculano.

V.- Se destacan las ventajas de dicho ojo, que a más de constituirse anatómicamente en elemento axial del tronco del encéfalo, tiene la posibilidad de ser trazado en el sujeto vivo sobre el perfil radiográfico de las estructuras previamente neumonecontrastadas.

VI.- El ojo troncoencefálico propuesto forma una angulación con la linea intercomisural oq robral , que estudiada en diecinueve casos ofrece unas oscilaciones que van desde los 92° a los 120°; mientras que en cambio el estudio angular comparativo del presente ojo troncoencefálico en relación con el plano basilar ósea determinado en los mismos casos , muestra oscilaciones de 14° y 35° respectivamente.

VII.- Se considera la conveniencia de establecer un doble plano horizontal de referencia, según se trate de estructuras troncoencefálicas o cerebelosas ; adoptándose en el primer caso el plano que

pasa por el centro del trazado troncoencefálico propuesto , mientras que en el segundo se da preferencia al plano horizontal que pasa por el vértice del recesso cerebeloso.

VIII.- Se analiza comparativamente la topografía de las estructuras cerebelo -troncoencefálicas en nueve casos , mediante series de cortes en rebrales de 5mm. de grosor , orientados sagital (2) ,horizontal(4), y transversalmente (3), que sirvieron de base a la confección de los correspondientes atlas dibujados sobre papel milimétrico.

IX.- Las coordenadas globales de la masa cerebelo troncoencefálica proporcionan unos resultados métricos de máxima amplitud que determinados axialmente dejan englobadas las estructuras entre un plano anterior preaxial , situado a 25 mm. por delante y otro posterior , retroaxial, a nivel de los 30 mm. .

Iateralmente los perfiles cerebelosos quedan delimitados por un plano lateral máximo , situado a 44 mm. de la linea media.

El plano limite supraaxial viene a estar situado a 22 mm. por encima del centro del sistema, mientras el infraaxial , alcanza los 35 mm. por debajo de dicho plano.

X.- Con arreglo a nuestro sistema de planos de topografia , el nucleo dentado del cerebro, que constituye una estructura de interés topográfico aplicativo , queda situado a ambos lados de la linea media , totalmente incluido dentro del correspondiente cuadrante posteroinferior , englobado en el espesor de un espacio prismático cuadrangular que queda trazado a partir del punto O del sistema y cuyas tres aristas fundamentales descansando sobre los ejes posteroinferiores , medirian respectivamente 14 mm. en sentido lateral , 17 mm. en dirección descendente y 18 mm. en sentido posterior.

BIBLIOGRAPHIA

- COOPER,J.S. 1956.-"The neurosurgical alleviation of parkinsonism." C.C.Thomas Pub. Springfield. Ill.
- COOPER,J.S. 1954.-"Surgical alleviation of parkinsonism; effects of occlusion of the anterior cerebral artery." J.Am.Seriat. Sec.2.69-718.
- DEMAS ,A. y PAGNISSIEU,B. 1954.-"La topometrie cerveau-méso-encéphalique. Etude comparative des coordonnées structurelles droites et gauches (centre motric, moyen auditif et zone pituitaire inférieure)."
In press medecine A.62 458-462.
- ESCOLAR,J. 1950.-"A topographic system in the human brain by coordinate procedures." International Anatomical Congress. Oxford.
- ESCOLAR,J. 1956.-"El corticoseme encefálico por mano." Monografía del Congr. Sup. de Ciencias Científicas. Madrid.
- ESCOLAR,J. 1950.-"Essai de traitement neurochirurgical du syndrome parkinsonien par intervention directe sur les veines artéries pyramidales immédiatement sous striate lenticulaires (voie lenticulaire)." Rev. Neurol. 81.437-440.

- JIMENEZ-P. y THIBAULT,P.1959.-Results of neurosurgery at treatment of parkinsonism produced by mono unilateral striatonigral intervention. Rev. Neurologie.63.382.
- GUILLERMO,G.y BONIN,S.1953.-Traitement des mouvements anormaux par la coagulation pallidique. Techniques et resultats. Ibid.63.378.
- GUILLERMO,G.y BONIN,S.1955.-La chirurgie pallidique dans les affections. Sommaire. Paris.31.
- GULLINGHAM,F.J.,WATSON,J.S.,DORALISCH,A.H.,RAHUTON,L.A.1960.-The surgical treatment of Parkinsonism. Brit Med. Journal,1393-1402.
- KASSLER,R.y KLEINERT,E.1954.-Institutionen und Vergleichungen methoden der gesichtsphantomoperationen. Neurologie.25.441-467.
- BONSLET,V. y CLARKE,R.H.1959.-The structure and functions of the cerebellum examined by a new method. Brain.33.45-124.
- JIMENEZ-CASTELLANOS,J.1949.-Nuevo guia reconstructiva de la cortección cerebral.406. Med.35.609-613.
- JIMENEZ-CASTELLANOS,J.1954.-Fundamentos anatómicos de la cortección cerebral.406.Med.40.35-32.
- JIMENEZ-CASTELLANOS,J.1955.-Las relaciones topográficas cráneo-oftálico y en interno oculario. Anál. Univ. Biop. Vol.XVI.33-39.
- JIMENEZ-CASTELLANOS,J.1957.-Realidad y pervenir de la cirugía cortección cerebral. Hispalis Médica. Vol.XIV.147-156.
- JIMENEZ-CASTELLANOS,J.1957.-Valores craneometricos de interes en cortección cerebral - humano. Anál. Anat. Univ. Biop. Vol.VI.3-61.

- JIMENEZ-CASTELLANOS.J.1957.-Valor topografico de coordenadas en la cirugia estereotaxica cerebral.Com. al V Cong. Nacional de Neurrol.Salamanca.103-107.
- JIMENEZ-CASTELLANOS.J.1958.-Consideraciones sobre tratamiento quirurgico de las disquinesias.Farmaco.III.24.773-797.
- JIMENEZ-CASTELLANOS .J.1959.-Lecciones de neuroanatomia clinica .Cap.IXI, XXII.550-608.
- JIMENEZ-CASTELLANOS.J.1960.-Apertaciones a la esteriotaxis encefálica experimental y clínica.En prensa.
- KLEIN.M.R. 1955.-Ensayo de tratamiento de la atetosis por destrucción del ansa lenticularis.Rev.Esp.de Oto.Oft.Neurocir.XIV.329.
- MENDOZA ABREU.A., GALLEGO SANCHEZ., HERNANDEZ CALVO, JIMENEZ-CASTELLANOS.J.1958.-Apertaciones a la fragmentación macroscópica cerebral mediante cortes estereotácticos.Anal.Univ.Eisp.IV.47-95.
- MARTINEZ CARO.A.1958.-Fundamentos anatómicos al abordaje estereotáctico del globo pálido.Tesis Doctoral.Sevilla.
- MEYERS.R. and HAYNE .R.1948.-Tridimensional analysis of deep and superficial structures of the human brain .Tr Am.Neurol.A.175.
- OBRADOR.S.y DIERSENK.8.1956.-Cirugia de la reg.parkidal en el síndrome de parkinson .Técnica personal y resultados inmediatos en los seis primeros casos operados.Rev.Clin.Esp.Vol.61.229.

RANSON.S.W.1934.-On the use of the Hersley-Clarke stereotaxic instrument .J.Psych. a.Neurol.36.534-543.

RANSON.S.W. e INGRAM.W.R.1931.-Method for accurately locating pointin the interior brain.Proc.Soc.Exper.Biol.a Med.28.577-578.

RANSON.S.W. 1948.-Anatomy of the nervous system.
(revised by Sam Millard Clark)
Philadelphia.Saunders.ed.8.

RILEY.H.A.1943.-An atlas of the basal ganglia.
Brainstein and spinal cord.Baltimore.Williams.

SPIEGEL.E.A.,WYGIS.H.T.,MARKS.M.y LEC.A.J.1947.-
Stereotaxis aparatus for operations on the human brain.Science. 106.349-350.

SPIEGEL.E.A.y WYGIS.H.T.1950.-The effect of thalamotomy and pallidotomy upon involuntary movements in chorea and athetosis.Surg.Gyna.329-331.

SPIEGEL.E.A.y WYGIS.H.T.1952.- Stereocencephalotomy.
Part.I.Method and stereotaxic atlas
of the human brain.(Thalamotomy and related procedures.)Grune and Stratton.New York.

STRONG.D.S.and KLUTH.A. 1953.- Human neuroanatomy.
Baltimore.William Wilkins.

SOLER.J.1953.- Sobre el cartesianismo del talamo humano.Anal. Anatom.2.49-62.

TALAIRACH.J.,DAVID.M.,TOURNOUX.P.,CORRIDOR.H.,IVA-SIVA.2.1957.-Atlas d'anatomic stéréotaxique . Paris .Masson et Cie.

- TALAIRACH.J., AJURIAGUERRA.J., DE y DAVID M.1952.
Etudes stereotaxiques des structures encephaliques profondes chez l'homme.La Presse Medicale .60.603-609.
- TALAIRACH.J.1953.-Chirurgie stereotaxique du thalamus .(Bases anatomiques et techniques .Indications et resultats therapeutiques).Sexto Congreso Latinoamericano de Neurocirugia.865-925.Montevideo.
- TALAIRACH.J.1954.-Les explorations radiologiques stereotaxiques .Rev.Neuroch.90.556-584.
- TESTUT - LATARJET.1958.-Anatomia Humana.IX.ed.II 723-925.
- WYCIS H.T., ROBELIN R., SPIEGEL ADOLF M., MESZAROS J., y SPLEGELE E.A.1954.-Studies in stereoneuroectomy. Treatment of a cystic craniopharyngioma by injection of radioactive P32.Gentina Neurol.14.193-202.
- WYCIS H.T., SPIEGEL E.A. 1955.-Treatment of certain types of chorea athetosis and tremor by stereoneuroectomy.J.Int. Coll.Surg.25.202-207.
- WOLP-HEIDEGGER G., 1957.-Atlas de la anatomia sistematica del hombre.III.S.Karger A.G.,Basel.

I N D I C E

| | | |
|------------|--------------------------------|----------|
| I | INTRODUCCION..... | 1 |
| | Antecedentes e interes | 2 |
| II | MATERIAL Y METODOS..... | 4 |
| | Conservacion | 4 |
| | Procederes..... | 5 |
| | Sistema de ejes | 5 |
| | Figura 1..... | 5 |
| | Angulos | 6 |
| | Cortes | 6 |
| | Ejes horizontales | 7 |
| III | RESULTADOS | 8 |
| | Variabilidad angular | 9 |
| | Figura 2..... | 9 |
| | Puntos cardinales | 10 |
| | Quadro I | 10 |
| | Distanacias | 11 |